



ارتباط سنجی لوکوس ica و تایپ‌های مختلف SCCmec در ایزوله‌های بالینی استافیلوکوکوس اورئوس مقاوم به متی‌سیلین: یک مطالعه توصیفی-تحلیلی

مریم محمدیان^۱، امیرحسین مومن^{*}، آیدا علی‌ضمیر^۲^۱- گروه میکروبیولوژی، دانشکده علوم پایه، واحد همدان، دانشگاه آزاد اسلامی، همدان، ایران.^۲- گروه پاتولوژی، دانشکده پزشکی، دانشگاه علوم پزشکی همدان، همدان، ایران.

تاریخ دریافت: ۱۴۰۱/۰۹/۱۳، تاریخ پذیرش: ۱۴۰۱/۰۹/۲۸

چکیده

مقدمه: در ایزوله‌های بالینی استافیلوکوکوس اورئوس، کاست ica نقش مهمی در تشکیل بیوفیلم دارد. با این حال، عملکرد آن در ایزوله‌های بالینی استافیلوکوکوس اورئوس حامل لوکوس‌های SCCmec و مقاوم به دارو به روشنی مشخص نیست. هدف از این مطالعه، ارتباط‌سنجی لوکوس ica و تایپ‌های مختلف SCCmec در ایزوله‌های بالینی استافیلوکوکوس اورئوس مقاوم به متی‌سیلین می‌باشد.

مواد و روش‌ها: در این مطالعه توصیفی-تحلیلی، با استفاده از آزمون‌های بیوشیمیایی، ۱۹ ایزوله استافیلوکوکوس اورئوس از نمونه‌های بالینی مختلف جدا شد. الگوی مقاومت به آنتی‌بیوتیک و سویه‌های MRSA با روش انتشار از دیسک شناسایی گردید. لوکوس‌های SCCmec و ica با استفاده از روش PCR بررسی شدند.

نتایج: ۱۹ ایزوله بالینی استافیلوکوکوس اورئوس، ۴۱ سویه MRSA شناسایی گردید. همچنین، فراوانی ژن‌های SCCmecIII SCCmecII SCCmecI به ترتیب ۲۱/۹٪، ۲۶/۸٪، ۳۱/۷٪ و ۴۱/۴٪ بود. بعلاوه، icaC icaB icaA و icaD به ترتیب از ۲۹ ایزوله (٪۳۲/۵۸)، ۱۱ ایزوله (٪۱۲/۳۵)، ۱۷ ایزوله (٪۱۹/۱۰) و ۲۲ ایزوله (٪۲۴/۷۱) جدا شد. همچنین، فراوانی کاست ica در سویه‌های حامل لوکوس ica به صورت معنی‌داری بیشتر از سویه‌های فاقد لوکوس ica بود ($P \leq 0.05$).

نتیجه‌گیری: ژن‌های کاست ica نقش مهمی در افزایش فراوانی سویه‌های استافیلوکوکوس اورئوس مقاوم به متی‌سیلین و پراکنش کاست‌های SCCmec در سویه‌های MRSA دارد.

واژه‌های کلیدی: استافیلوکوکوس اورئوس مقاوم به متی‌سیلین، بیوفیلم، واکنش زنجیره‌ای پلی‌مراز.

^{*}تویسندۀ مسئول: گروه میکروبیولوژی، دانشکده علوم پایه، واحد همدان، دانشگاه آزاد اسلامی، همدان، ایران، تلفن: ۰۹۰۲۹۴۴۹۹۸۶، نامبر: ۰۹۰۲۹۴۴۹۹۸۶.

ارجاع: مریم محمدیان، امیرحسین مومن، آیدا علی‌ضمیر. ارتباط‌سنجی لوکوس ica و تایپ‌های مختلف SCCmec در ایزوله‌های بالینی استافیلوکوکوس اورئوس مقاوم به متی‌سیلین: یک مطالعه توصیفی-تحلیلی. مجله دانش و تدرستی در علوم پایه پزشکی ۱۴۰۱:۱۷:۵۸-۵۸.

با این حال، پاسخ به این پرسش که آیا تشکیل بیوفیلم در پراکنش لوکوس SCCmec نقش دارد یا خیر، به روشنی مشخص نیست (۱۷ و ۱۸). ممکن است این فرضیه که سویه‌های MRSA حامل لوکوس‌های SCCmec و ica در غلظت‌های مختلفی از آنتی‌بیوتیک مهار می‌شوند نیز به سمت تئوری پیش رود. این امر سبب استفاده بهتر از دارو علیه سویه‌های MRSA خواهد شد و نقش مهمی در کاهش مصرف آنتی‌بیوتیک‌های ضدмيكروبی دارد (۱۹).

لذا، هدف از این مطالعه، ارتباط سنجی لوکوس ica و تایپ‌های مختلف SCCmec در ایزوله‌های بالینی استافیلوکوکوس اورئوس مقاوم به متی‌سیلین می‌باشد. همچنین در طی این مطالعه تحلیلی-تصویفی الگوی مقاومت به آنتی‌بیوتیک و تشکیل بیوفیلم در سویه‌های مقاوم و حساس به متی‌سیلین تجزیه و تحلیل شد.

مواد و روش‌ها

طراحی مطالعه و جمع‌آوری استافیلوکوکوس اورئوس. در این مطالعه تصویفی-تحلیلی، تحریکی طی یک دوره ۶ ماهه (مهر تا اسفند ۱۳۹۷)، ۳۶۹ ایزوله استافیلوکوکوس از نمونه‌های بالینی مختلف (کشت خون، کشت ادرار، زخم، کاتتر و سوپاپ بینی) از مراکز درمانی سطح شهر همدان جمع‌آوری شد. نمونه‌گیری بر اساس روش نمونه‌گیری آسان و در دسترس صورت گرفت. کلیه مراحل با تأیید معاونت محترم پژوهشی دانشگاه آزاد اسلامی، واحد همدان و با کد مصوب ۱۷۱۳۰۵۰۷۹۵۱۰۲۱ صورت گرفت. معیار ورود به مطالعه بیماران بستری در بیمارستان و مشکوک به عفونت باکتریایی و معیار خروج از مطالعه، بیماران فاقد علایم باکتریایی و عفونی تعیین گردید. در نهایت، جهت جداسازی ۸۹ ایزوله استافیلوکوکوس اورئوس، تمامی ایزوله‌ها با استفاده آزمون‌های چهارگانه‌ی کشت بر روی محیط DNAas آگار (Hi-Media، هند)، مانیتول سالت آگار (-Hi-Media، هند)، تست کوآگولاز و تست کاتالاز (Sigma-Aldrich هند) تعیین گونه شدند. جهت تأیید مولکولی ایزوله‌های استافیلوکوکوس اورئوس از ژن srRNA^{۱۶} استفاده گردید.

تعیین الگوی مقاومت آنتی‌بیوتیکی و مقاومت به متی‌سیلین. برای تعیین الگوی مقاومت آنتی‌بیوتیکی و سویه‌های MRSA از روش دیسک دیفیوژن (Bauer-Kirby) استفاده گردید. بر اساس جدول ۲، از دیسک آنتی‌بیوتیکی (Hi-media، هند) استفاده شد. نتایج به دست آمده با استفاده از آخرین نسخه CLSI مورد ارزیابی قرار گرفت (۲۰).

بررسی کمی تشکیل بیوفیلم در ایزوله‌های استافیلوکوکوس اورئوس به روش میکروپلیت تیتراسیون. در ابتدا، نمونه‌ها در محیط تریپتیکاز سوی براث (Hi-Media) حاوی ۱ درصد گلوكز کشت داده شد. سپس، از نمونه‌های غنی شده کدورتی معادل ۰/۵ مک فارلند تهیه گردید. سپس، ۲۰۰ میکرولیتر از هر سوسپانسیون به چاهک‌های میکروپلیت ۹۶ خانه‌ای اضافه شد و به مدت ۲۰ ساعت در دمای ۳۷ درجه سلسیوس گرم‌گذاری

مقدمه

ظهور سویه‌های مقاوم به آنتی‌بیوتیک در باکتری‌های گرم منفی و گرم مثبت یکی از چالش‌های قرن حاضر به شمار می‌رود. گسترش روزافزون باکتری‌های مقاوم به دارو، نه تنها مسیر درمان را با سختی همراه می‌کند، بلکه تبعات مالی سنگینی را به جامعه و بیمار تحمل می‌کند (۳). استافیلوکوکوس اورئوس یکی از مهمترین باکتری‌های عامل عفونت بیمارستانی است که در گذر زمان به آنتی‌بیوتیک‌های مختلفی مقاومت پیدا کرده است. با ظهور و شناسایی سویه‌های استافیلوکوکوس اورئوس Methicillin Resistant Staphylococcus aureus (MRSA) نگرانی‌های جدیدی در مهار این عامل عفونتی ایجاد شد (۴-۶). عامل مقاومت به متی‌سیلین ژن mecA می‌باشد (۷). این ژن بر روی یک المتن ژنتیکی سیار قرار دارد که به آن کاست کروموزومی استافیلوکوکی (Staphylococcus Casset Cromosom mec) می‌گویند (۶). پنج تیپ از کاست SCCmec شناسایی شده است که تیپ‌های I و IV و V عمدتاً سبب مقاومت به متی‌سیلین و سایر بتلاکتام‌های می‌شوند (۸). از طرفی، تیپ‌های II و III غالباً باعث ایجاد مقاومت‌های چندگانه نسبت به آنتی‌بیوتیک‌های بتلاکتامی و غیر بتلاکتامی می‌شود (۵).

بیوفیلم یک لایه خارجی می‌باشد که بقای باکتری در شرایط نامساعد محیطی را حفظ می‌کند (۹ و ۱۰). اپرون ژنی icaABCD نقش ویژه‌ای در تشکیل بیوفیلم در استافیلوکوکوس اورئوس دارد (۱۱). در این میان اما، ژن‌های icaA و icaD نقش کلیدی دارند. icaA محصول یک پروتئین Ubوری از سطح لایه‌های غشایی می‌باشد که با N-acetyl-icaD glucosaminyltransferases دارای همولوژی می‌باشد (۱۲). ژن icaC یک انتقال‌دهنده پیام (چاپرون) به سایر ژن‌های این لوکوس می‌باشد که با icaA کمک سبب فعال شدن آنزیم‌های خاصی جهت ایجاد ارتباط و بیان شدن icaC با icaA و icaD می‌شود. ژن icaB که ارتباط بین فضای داخلی و خارجی غشای سیتوپلاسمی باکتری را بر عهده دارد، یکی از طولانی‌ترین توالی‌های بین غشایی را دارد (۱۳). ژن icaB تها لوکوسی می‌باشد به صورت خارج سیتوپلاسمی قرار گرفته است و ارتباط سطحی باکتری با PAI‌ها را حفظ می‌کند (۱۴).

تشکیل بیوفیلم یکی از مهمترین راهکارهای استافیلوکوکوس اورئوس MRSA برای مقابله در برابر آنتی‌بیوتیک است. به عبارتی، سویه‌های حامل لوکوس ica توانایی بیشتری در بیماری‌زایی و مقاومت به دارو دارند (۱۵ و ۱۶). از این‌رو، با افزایش مقاومت سویه‌های تشکیل‌دهنده بیوفیلم به دارو، کاست SCCmec شرایط مناسب‌تری جهت فعالیت پیدا می‌کند (۱۶). ارتباط بین تشکیل بیوفیلم و مقاومت به دارو از دهها قبل مورد بحث بوده است. حضور همزمان کاست‌های ica و SCCmec در ایزوله‌های بالینی نقش مهمی در افزایش بیماری‌زایی استافیلوکوکوس اورئوس دارد.

تشخیصی و افتراقی، استافیلوکوکوس اورئوس بودند. از این میان، ۱۹ ایزوله ($0.21/3$) از کشت خون، ۲۸ ایزوله ($0.31/4$) از کشت ادرار، ۱۴ ایزوله ($0.15/7$) از زخم، ۱۷ ایزوله ($0.19/1$) از کاتتر و ۱۱ ایزوله ($0.12/3$) از سوپ بینی جداسازی شد (جدول ۲).

الگوی مقاومت آنتی‌بیوتیکی و سویه‌های استافیلوکوکوس اورئوس مقاوم به متی‌سیلین. با توجه به شکل ۲ و جدول ۲، سویه‌های مقاوم به پنی‌سیلین، سفوكسیتین و جنتامایسین به ترتیب با $86/5\%$ ، $74/1\%$ و $59/55\%$ بیشترین فراوانی را داشتند. هیچ یک از ایزوله‌های مورد بررسی به ونکومایسین مقاومت نداشتند. به علاوه، از ۸۹ ایزوله‌ی بالینی استافیلوکوکوس اورئوس، ۵۹ ایزوله ($0.66/2$) به عنوان سویه‌های مقاوم به چند آنتی‌بیوتیک (MDR) و ۱۱ ایزوله ($0.12/3$) به عنوان سویه‌های دارای مقاومت به طیف وسیع آنتی‌بیوتیک (XDR) تشخیص داده شد.

پرائشن سویه‌های تشکیل‌دهنده بیوفیلم در ایزوله‌های بالینی استافیلوکوکوس اورئوس. بر اساس جدول ۲، از مجموع ۸۹ ایزوله استافیلوکوکوس اورئوس، ۲۷ ایزوله ($0.30/33$) تشکیل‌دهنده بیوفیلم قوی، ۱۹ ایزوله ($0.19/10$) تشکیل‌دهنده بیوفیلم متوسط و ۹ ایزوله ($0.10/11$) تشکیل‌دهنده بیوفیلم ضعیف بودند. همچنان، ۳۴ ایزوله ($0.38/20$) قادر به تشکیل بیوفیلم نبودند.

پرائشن ژن‌های لوکوس ica و SCCmec براساس شکل ۲ و جدول ۲، از مجموع ۸۹ ایزوله استافیلوکوکوس اورئوس، ژن icaA در ۲۹ ایزوله ($0.33/58$) و ژن SCCmecV در ۱۷ ایزوله ($0.41/4$) بیشترین فراوانی را نشان دادند.

با توجه به جدول ۴ و سطح معنی‌دار بودن مقادیر $P \leq 0.05$ و $P \leq 0.001$ ، اختلاف معنی‌داری بین حضور الگوی ژن A و meCA و مقاومت به آنتی‌بیوتیک‌های مختلف گزارش شد ($P \leq 0.05$). همچنان، تفاوت معنی‌داری بین الگوی مقاومت به آنتی‌بیوتیک در سویه‌های حامل لوکوس ica و سویه‌های فاقد لوکوس ica مشاهده شد ($P \leq 0.05$).

شد. بعد از آن، چاهک‌ها پس از ۴ بار شستشو با محلول فسفات بافر سالین (PBS) نمونه‌ها با کریستال ویوله ۱ درصد رنگ‌آمیزی و ۳ بار با آب مقطر شستشو داده شدند. به منظور رهاسازی رنگ نفوذ کرده به دیواره باکتری‌های تشکیل‌دهنده بیوفیلم، ۲۰۰ میکرولیتر الکل استون به هر چاهک اضافه گردید. در نهایت جذب نوری (OD) نمونه‌ها در طول موج ۵۷۰ نانومتر با استفاده از دستگاه الایزا خوان، بررسی گردید (۲۱).

استخراج DNA ژنومیک و انجام واکنش PCR برای انجام استخراج Cat No./ID: DNA ژنومیک با استفاده از کیت استخراج شرکت کیاژن (۵۱۳۰۴) استفاده شد. تمامی مراحل با توجه به پروتکل درج شده در کیت، پیش گرفته شد. سپس، با استفاده از پرایمرهای جدول ۱، مراحل آماده‌سازی واکنش PCR برای هر ژن در دامنه دمایی مشخص، انجام گرفت. حجم نهایی واکنش برای ردیابی لوکوس‌های ica و SCCmec ۵۰ میکرولیتر در نظر گرفته شد. این میکس شامل ۲ میکرولیتر DNA الگو، ۱ میکرولیتر از هر پرایم با غلظت ۲۵ پیکومولار و ۲۵ میکرولیتر مستر میکس (Ampliqon، آلمان) بود. برای تکثیر ژن‌های مورد مطالعه از ترموسایکلر MJ Mini BioRad (ساخت آمریکا) استفاده گردید. از سویه استافیلوکوکوس اورئوس ATCC25923 به عنوان کنترل منفی و از سویه‌های استافیلوکوکوس اورئوس ATCC35983 و استافیلوکوکوس اپیدرمیدیس ATCC12228 به عنوان کنترل مثبت استفاده گردید. در نهایت، حضور ژن‌ها بر روی آگارز ۱/۵ درصد با ولتاژ V85 به مدت ۱ ساعت الکتروفورز گردید.

بررسی کیفی داده‌ها، با استفاده از روش‌های آمار توصیفی (تعیین فراوانی، درصد و میانگین)، نرم‌افزار GraphPad Prism نسخه ۸ (GraphPad Software, Inc) و آزمون آماری χ^2 صورت گرفت. به منظور بررسی ارتباط بین متغیرهای مختلف از آزمون‌های آماری آنوا دوطرفه و آزمون-تی استفاده گردید. در این مطالعه مقدار $P \leq 0.05$ و $P \leq 0.001$ معنی‌دار در نظر گرفته شد.

نتایج

در این مطالعه ۳۶۹ نمونه بالینی از بیمارستان‌های مختلف در طی ۶ ماه جمع‌آوری شدند که ۸۹ ایزوله پس از انجام آزمون‌های بیوشیمیابی

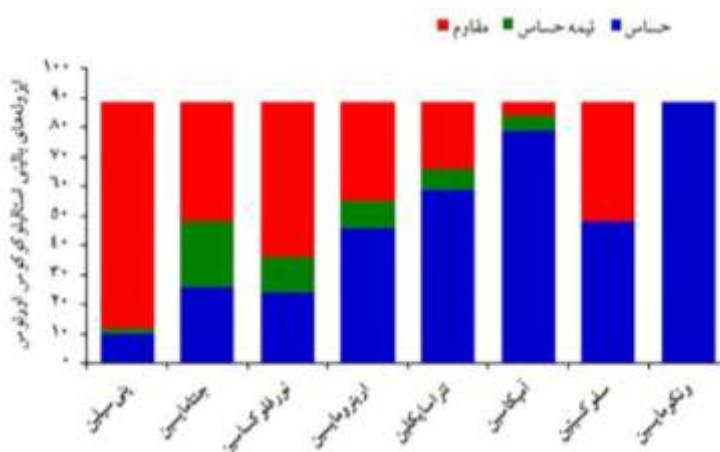
جدول ۱- لیست پرایمرهای مورد استفاده در این مطالعه

ژن	توالی نوکلئوتیدی
icaA	F: ACAGTCGCTACGAAAAGAA R: GGAAATGCCATAATGACAAAC
icaD	F: ATGGTCAAGCCCAGACAGAG R: CGTGTTCACATTAAATGCAA
icaC	F: CTGATCAAGAACATTAAATCACAA R: AAAGTCCCATAAGCCCTGTT
icaB	F: TAACTTAGGGCGCATATGTTT R: TTCCAGTTAGGCTGGTATTG

(۳۴)	۲۷۹	۸ دقیقه به مدت ۸ °C سیکل (۳۰ ثانیه ۴۵، ۹۴°C ۵۹°C (۷۳°C ۴۵ ثانیه ۴۵، ۵۹°C ۵ به مدت ۵ دقیقه ۷۳°C	F: GCGATTGATGGTGTACGGTT R: AGCCAAGCCTTGACGAACCTAAAGC	mecA
(۳۷ و ۸)	۶۱۳		F: GCTTAAAGAGTGTCTTACAGG R: GTTCTCTCATAGTATGACGTCC	SCCmecI
	۳۹۸	۵ دقیقه به مدت ۵ دقیقه ۹۴°C	F: CGTTGAAGATGATGAAGCG R: CGAAATCAATGGTTAATGGACC	SCCmecII
	۲۸۰	۳۵ سیکل (۶۰ ثانیه ۴۵، ۹۴°C ۳۵ (۷۳°C ۴۵، ۵۹°C ۵ به مدت ۵ دقیقه ۷۳°C	F: CCATATTGTGTACCATGCG R: CCTTAGTTGTCGTAACAGATCG	SCCmecIII
	۷۷۶		F: GCCTTATTCTGAAGAACCG R: CTACTCTCTGAAAAGCGTCG	SCCmecIV
	۳۲۵		F: GAACATTGTTACTTAAATGAGCG R: TGAAAGTTGTACCCCTTGACACC	SCCmecV
(۹)	۷۹۱	۸ دقیقه به مدت ۸ °C سیکل (۳۰ ثانیه ۴۵، ۹۴°C ۳۰ (۷۳°C ۴۵ ثانیه ۴۵، ۵۹°C ۵ به مدت ۵ دقیقه ۷۳°C	F: GAAGTACGCAGAAGAG R: GAAGTACGCAGAAGAG	16s rRNA

جدول ۲- جدول استاندارد آنتی بیوتیک‌های مورد استفاده در مطالعه حاضر

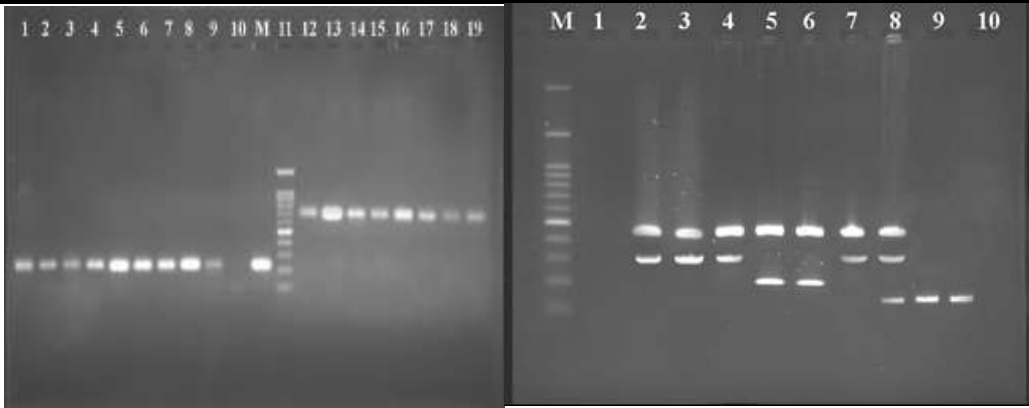
قطر هاله (میلی متر)			غایظ	کد دیسک	آنتی بیوتیک
≤ حساس	نیمه حساس	مقاوم	(میکروگرم)		
۲۹	-	۲۸	۱۰ واحدی	P	پنی سیلین
۱۵	۱۴-۱۳	۱۲	۱۰	GE	جنتامایسین
۱۷	۱۶-۱۳	۱۲	۱۰	NOR	نوروفلوكسازین
۲۳	۲۲-۱۴	۱۳	۱۵	E	اریتومایسین
۱۹	۱۸-۱۵	۱۴	۳۰	TE	تراساکلین
			۳۰	AMK	آمیکاسین
۲۲	-	۲۱	۳۰	FOX	سفوکسیتین
۱۲	۱۰-۴	۲	۱۰	V	ونکومایسین



شکل ۱- فراوانی الگوی مقاومت آنتی بیوتیکی ایزوله‌های بالینی استافیلوکوکوس اورئوس

جدول ۳- فراوانی لوکوس ژن‌های *ica* و *SCCmec* در ایزوله‌های بالینی مختلف استافیلوکوکوس اورئوس

جمع کل	استافیلوکوکوس اورئوس حساس و مقاوم به متی‌سیلین (n=۸۹)										لوکوس ژنی <i>ica</i>
	سواب بینی (n=۱۱)		کاتتر (n=۱۱)		زخم (n=۱۴)		ادرار (n=۲۸)		خون (n=۱۹)		
	mecA (-)	mecA (+)	mecA (-)	mecA (+)	mecA (-)	mecA (+)	mecA (-)	mecA (+)	mecA (-)	mecA (+)	
۲۹	(٪۰) ·	(٪۰) ·	(٪۰) ·	(٪۵/۸) ۲	(٪۰) ·	(٪۳۴/۴) ۱۰	(٪۰) ·	(٪۳۴/۴) ۱۰	(٪۶/۸) ۲	(٪۱۷/۲) ۵	<i>icaA</i>
۱۱	(٪۰) ·	(٪۰) ·	(٪۰) ·	(٪۰) ·	(٪۰) ·	(٪۶۳/۳) ۷	(٪۰) ·	(٪۲۷/۲) ۳	(٪۰) ·	(٪۹/۱) ۱	<i>icaB</i>
۱۷	(٪۰) ·	(٪۰) ·	(٪۰) ·	(٪۱۱/۴) ۲	(٪۰) ·	(٪۷۶/۴) ۱۳	(٪۰) ·	(٪۵/۸) ۱	(٪۰) ·	(٪۵/۸) ۱	<i>icaC</i>
۲۲	(٪۰) ·	(٪۹/۱) ۲	(٪۰) ·	(٪۳۱/۸) ۷	(٪۰) ·	(٪۵۹/۱) ۱۳	(٪۴/۵) ۱	(٪۴/۵) ۱	(٪۰) ·	(٪۱۳/۶) ۳	<i>icaD</i>
۹	(٪۰) ·	(٪۰) ·	(٪۰) ·	(٪۰) ·	(٪۰) ·	(٪۲۲/۲) ۲	(٪۰) ·	(٪۰) ·	(٪۰) ·	(٪۷۷/۷) ۷	لوکوس ژنی <i>SCCmecI</i>
۱۱	(٪۰) ·	(٪۰) ·	(٪۰) ·	(٪۹/۱) ۱	(٪۰) ·	(٪۶۳/۶) ۷	(٪۰) ·	(٪۰) ·	(٪۰) ·	(٪۲۷/۷) ۳	<i>SCCmecII</i>
۱۳	(٪۰) ·	(٪۰) ·	(٪۰) ·	(٪۰) ·	(٪۰) ·	(٪۲۳/۱) ۳	(٪۰) ·	(٪۰) ·	(٪۰) ·	(٪۷۶/۹) ۱۰	<i>SCCmecIII</i>
۷	(٪۰) ·	(٪۰) ·	(٪۰) ·	(٪۰) ·	(٪۰) ·	(٪۴۰) ۲	(٪۰) ·	(٪۰) ·	(٪۰) ·	(٪۷۱/۴) ۵	<i>SCCmecIV</i>
۱۷	(٪۰) ·	(٪۰) ·	(٪۰) ·	(٪۱۱/۷) ۲	(٪۰) ·	(٪۲۹/۴) ۵	(٪۰) ·	(٪۱۷/۶) ۳	(٪۰) ·	(٪۴۱/۱) ۷	<i>SCCmecV</i>
۲۷	(٪۰) ·	(٪۰) ·	(٪۰) ·	(٪۱۱/۱) ۳	(٪۰) ·	(٪۵۱/۸) ۱۴	(٪۳/۷) ۱	(٪۲۲/۲) ۶	(٪۰) ·	(٪۲۶/۱) ۴	تشکیل بیوفیلم
۱۹	(٪۰) ·	(٪۲۱/۵) ۴	(٪۵/۲) ۱	(٪۶۳/۸) ۷	(٪۰) ·	(٪۵/۲) ۱	(٪۵/۲) ۱	(٪۰) ·	(٪۰) ·	(٪۲۶/۱) ۵	بیوفیلم متوسط
۹	(٪۰) ·	(٪۰) ·	(٪۰) ·	(٪۰) ·	(٪۰) ·	(٪۰) ·	(٪۰) ·	(٪۱۰۰) ۹	(٪۰) ·	(٪۰) ·	بیوفیلم ضعیف
۳۴	(٪۲۰/۵) ۷	(٪۰) ·	(٪۱۷/۶) ۶	(٪۰) ·	(٪۰) ·	(٪۰) ·	(٪۴۹/۴) ۱۰	(٪۰) ·	(٪۴۹/۴) ۱۰	(٪۰) ·	فاقد بیوفیلم
											مقاومت به آنتی‌بیوتیک
۷۷	۱۰ (٪۱۲/۹)	(٪۰) ·	(٪۲۶/۱) ۱	(٪۲۶/۱) ۱۶	(٪۲۶/۱) ·	(٪۲۶/۱) ۱۴	(٪۲۶/۱) ۱	(٪۲۶/۱) ۱۶	(٪۲۶/۱) ۴	(٪۲۶/۱) ۳۴	پنی‌سیلین
۴۱	(٪۰) ·	(٪۰) ·	(٪۰) ·	(٪۰) ·	(٪۰) ·	(٪۲۶/۸) ۱۱	(٪۰) ·	(٪۲۴/۴) ۱۰	(٪۲۲/۴) ۱	(٪۴۶/۳) ۱۹	چنان‌باشین
۵۳	(٪۰) ·	(٪۰) ·	(٪۰) ·	(٪۰) ·	(٪۰) ·	(٪۲۰/۷) ۱۱	(٪۱/۸) ۱	(٪۴۳/۳) ۲۳	(٪۴۳/۷) ۲	(٪۳۰/۱) ۱۶	نورفلوکسازین
۳۴	(٪۰) ·	(٪۰) ·	(٪۰) ·	(٪۸/۸) ۳	(٪۲/۹) ۱	(٪۲۰/۵) ۷	(٪۰) ·	(٪۴۸/۲) ۱۳	(٪۴۲/۹) ۱	(٪۲۶/۵) ۹	ارتزومایسین
۲۳	(٪۰) ·	(٪۰) ·	(٪۰) ·	(٪۰) ·	(٪۰) ·	(٪۵) ۱	(٪۰) ·	(٪۱۰) ۲	(٪۰) ·	(٪۴۶/۹) ۲۰	تراسایکلین
۵	(٪۰) ·	(٪۰) ·	(٪۰) ·	(٪۰) ·	(٪۰) ·	(٪۰) ·	(٪۰) ·	(٪۰) ·	(٪۰) ·	(٪۸۰) ۴	آمیکاسین
۶۶	(٪۰) ·	(٪۰) ·	(٪۰) ·	(٪۰) ·	(٪۰) ·	(٪۰) ·	(٪۰) ·	(٪۱۶/۰) ۱۱	(٪۰) ·	(٪۵۲/۲) ۲۳	سفوکسیتین
·	(٪۰) ·	(٪۰) ·	(٪۰) ·	(٪۰) ·	(٪۰) ·	(٪۰) ·	(٪۰) ·	(٪۰) ·	(٪۰) ·	(٪۰) ·	ونکومایسین
۵۹	(٪۰) ·	(٪۰) ·	(٪۰) ·	(٪۵۰/۸) ۱۰	(٪۰/۷۵) ۱	(٪۹۲/۸) ۱۳	(٪۰) ·	(٪۷۵) ۲۱	(٪۵/۲) ۱	(٪۴۷/۲) ۹	MDR
۹	(٪۰) ·	(٪۰) ·	(٪۰) ·	(٪۰) ·	(٪۰) ·	(٪۰) ·	(٪۰) ·	(٪۰) ·	(٪۰) ·	(٪۷/۴) ۲	XDR

شکل ۲- الکتروفورز ژن‌های *ica* در ایزوله‌های مختلف استافیلوکوکوس اورئوس

طول محصولات ستر شده برای ژن *ica* برابر با ۱۰۳ جفت باز، برای ژن *C* ۴۰۰ جفت باز، برای ژن *icaB* ۳۰۲ جفت باز، برای ژن *icaC* ۴۰۰ جفت باز، برای ژن *icaD* برابر با ۱۹۸ جفت باز. چاهک ۱ کنترل منفی، چاهک ۲ تا ۷ و ۱۰ ایزوله‌های مورد مطالعه (شکل سمت چپ) الکتروفورز ژن‌های *mecA* و *16srRNA*. طول محصولات ستر شده برای ژن *16srRNA* برابر با ۷۹۱ جفت باز، برای ژن *mecA* برابر با ۱۰۰ جفت باز. مارکر *M*: ATCC25923: کنترل منفی، استافیلوکوکوس اورئوس ATCC35983 و استافیلوکوکوس ایدرمیدیس *ATCC12228*: کنترل مثبت

جدول ۴- بررسی ارتباط بین الگوی پراکنش کاست‌های *ica*، تشکیل بیوفیلم با مقاومت به آنتی‌بیوتیک در ایزوله‌های بالینی استافیلوکوکوس اورئوس

کاست	تشکیل بیوفیلم			
	<i>icaD</i>	<i>icaC</i>	<i>icaB</i>	<i>icaA</i>
P=۰/۰۰۲	P=۰/۰۰۹	P=۰/۰۳۹	P=۰/۰۰۶	قوی
P=۰/۰۴۹	P=۰/۰۱۲	P=۰/۰۳۱	P=۰/۰۲۲	متوسط

P=0/036	P=0/002	P=0/072	P=0/033	ضعیف
P=0/032	P=0/017	P=0/015	P=0/048	فاقد بیوفیلم
P=0/040	P=0/002	P=0/051	P=0/22	کاست ژنی SCCmec
P=0/015	P=0/019	P=0/042	P=0/061	SCCmecI
P=0/007	P=0/009	P=0/088	P=0/049	SCCmecII
P=0/024	P=0/011	P=0/009	P=0/014	SCCmecIII
P=0/044	P=0/019	P=0/020	P=0/027	SCCmecIV
P=0/009	P=0/002	P=0/006	P=0/042	SCCmecV
P=0/049	P=0/021	P=0/042	P=0/013	انتی بیوتیک ها
P=0/055	P=0/005	P=0/000	P=0/045	پنی سیلین
P=0/039	P=0/015	P=0/009	P=0/036	جنتامایسین
P=0/052	P=0/003	P=0/007	P=0/012	نورفلوکساسین
P=0/035	P=0/049	P=0/060	P=0/020	اریترومایسین
P=0/012	P=0/019	P=0/072	P=0/061	ترتراسایکلین
P=0/000	P=0/000	P=0/000	P=0/000	آمیکاسین
				سفوکسیتین
				ونکومایسین

بیشترین فراوانی بودند. الگوی فراوانی مشابهی در مطالعات هاشمی زاده و همکاران (۳۱) و نگارسوندارام و همکاران (۳۲) گزارش شد. همچنین، مطالعه اوتوسکا و همکاران نشان داد که بیشترین و کمترین مقادیر اختصاص یافته به فراوانی زیر تایپ های کاست SCCmec در ایزوله های مقاوم به متی سیلین استافیلوکوکوس اورئوس بین مقادیر ۵/۵ درصد تا ۱۶ درصد گزارش می باشد که با نتایج به دست آمده در مطالعه حاضر مشابه تقریبی دارد (۳۳).

جدول ۴ نشان داد که، در مطالعه حاضر افزایش معنی داری بین الگوی مقاومت آنتی بیوتیکی و توزیع فراوانی لوکوس های ica در سویه های MRSA آمد. از این رو، بیشترین فراوانی ژن های ica در مطالعات گزارش شد که از نمونه های زخم جدنشده بودند (P \leq 0/05). مطالعات زاهدانی و همکاران (۳۳) و دهباشی و همکاران (۱۳) نشان داد که ارتباط معنی داری بین مقاومت به متی سیلین و حضور ژن های عامل یووپیلم در باکتری های گرم مثبت و گرم منفی وجود دارد.

با توجه به جدول ۴، مطالعه حاضر ارتباط معنی دار بین حضور ژن های ica و کاست SCCmec را نشان داد. همچنین، مطالعات مختلف در هند (۳۱)، آمریکا (۳۲) و چین (۱۵) نتایج مشابهی را گزارش دادند. از طرفی، مطالعات میراگایا و همکاران (۴)، سینق و همکاران و طهماسبی و همکاران (۳۳) مشخص کردند ژن meCA نقش ویژه ای در بروز مقاومت به متی سیلین در سویه های MRSA دارد. همچنین میزان بیان این ژن با توجه به فراوانی لوکوس SCCmec متفاوت می باشد. این لوکوس ژنی در ژنوم باکتری به صورت متحرک می باشد که می تواند سبب ایجاد جهش های مخرب و یا سازنده شود. از این رو، لوکوس ژنی SCCmec به صورت مستقیم

بحث

بر اساس نتایج این مطالعه، فراوانی سویه های استافیلوکوکوس اورئوس مقاومت به آنتی بیوتیک های پنی سیلین و نورفلوکساسین در بهتر ترتیب ۵۶/۵٪ و ۵۹/۵٪ بود. این در حالی بود که، سویه های مقاوم به آمیکاسین با فراوانی ۵/۶٪ و تتراسایکلین با ۲۵/۸٪ کمترین فراوانی را داشتند، علاوه بر این هیچ یک از ایزوله ها به ونکومایسین مقاومت نداشت. نتایج مشابهی در مطالعات گاروی و همکاران (۲۲) و طهماسبی و همکاران (۵) گزارش شد. در برخی مطالعات از ایران (۲۳) و سودارن (۲۴)، فراوانی سویه های استافیلوکوکوس اورئوس مقاوم به متی سیلین بیش از ۹۰ درصد گزارش شد. این در حالی بود که، عبادین و همکاران (۲۵) و الی و همکاران (۲۶) حدود ۴۰ درصد از سویه های استافیلوکوکوس اورئوس را حامل ژن meCA معرفی کردند.

در مطالعه حاضر، فراوانی استافیلوکوکوس اورئوس حامل ژن های icaD و icaC icaB icaA به ترتیب ۱۰/۱۰٪، ۱۲/۳۵٪، ۳۲/۵۸٪ و ۷۱/۲۴٪ بود. در مطالعه قاسمیان و همکاران (۲۸) پراکنش ژن های icaABCD به ترتیب ۷۳٪، ۶۶٪، ۷۳٪ و ۶۶٪ گزارش شد. همچنین، مطالعات ابوالینور و همکاران (۲۹) نشان داد که فراوانی icaABCD به ترتیب ۳۰/۳٪، ۵۱/۵٪، ۶۳/۶٪ و ۶۶/۶٪ می باشد. نتایج ما همچنین مشخص کرد که سویه های استافیلوکوکوس اورئوس حامل ژن های لوکوس ica در ایزوله های جدا شده از زخم و کشت ادار بیشترین پراکنش را داشتند. مشابه نتایج مطرح شده در گزارشات پاییچوتا و همکاران (۳۰) نیز مشاهده شد.

بررسی کاست ژنی SCCmec در مطالعه حاضر نشان داد که SCCmec V به ترتیب با ۲۵/۸٪ و ۳۰/۳٪ دارای

6. Gurung RR, Maharjan P, Chhetri GG. Antibiotic resistance pattern of *Staphylococcus aureus* with reference to MRSA isolates from pediatric patients. Future science OA. 2020;6:FSO464-FSO. doi: 10.2144/fsoa-2019-0122
7. Tahmasebi H, Dehbashi S, Arabestani MR. Antibiotic resistance alters through iron-regulating Sigma factors during the interaction of *Staphylococcus aureus* and *Pseudomonas aeruginosa*. Sci Rep 2021;11:18509. doi: 10.1038/s41598-021-98017-5
8. Maina EK, Kiiyukia C, Wamae CN, Waiyaki PG, Kariuki S. Characterization of methicillin-resistant *Staphylococcus aureus* from skin and soft tissue infections in patients in Nairobi, Kenya. International Journal of Infectious Diseases 2013;17:e115-e9. doi: 10.1016/j.ijid.2012.09.006
9. Heydari N, Tahmasebi H, Zeini B, Dehbashi S, Arabestani MR. Expression of aap and icar genes involved in biofilm production in clinical strains of *staphylococcus aureus* resistant to methicillin and gentamicin. Scientific Journal of Kurdistan University of Medical Sciences 2018;23:64-75.
10. Solati SM, Tajbakhsh E, Khamesipour F, Gugnani HC. Prevalence of virulence genes of biofilm producing strains of *Staphylococcus epidermidis* isolated from clinical samples in Iran. AMB Express 2015;5:134-. doi: 10.1186/s13568-015-0134-3
11. Bimanand L, Taherikalani M, Jalilian FA, Sadeghfard N, Ghaforian S, Mahdavi Z, et al. Association between biofilm production, adhesion genes and drugs resistance in different SCCmec types of methicillin resistant *Staphylococcus aureus* strains isolated from several major hospitals of Iran. Iran J Basic Med Sci 2018;21:400-3. doi: 10.22038/IJBS.2018.19378.5132
12. Jimi S, Miyazaki M, Takata T, Ohjimi H, Akita S, Hara S. Increased drug resistance of methicillin-resistant *Staphylococcus aureus* biofilms formed on a mouse dermal chip model. J Med Microbiol 2017;66:542-50. doi: 10.1099/jmm.0.000461
13. Dehbashi S, Tahmasebi H, Zeyni B, Arabestani MR. The relationship between promoter-dependent quorum sensing induced genes and methicillin resistance in clinical strains of *staphylococcus aureus*. J Zanjan Univ Med Sci 2018;26:75-87.
14. Goetz C, Tremblay YDN, Lamarche D, Blondeau A, Gaudreau AM, Labrie J, et al. Coagulase-negative staphylococci species affect biofilm formation of other coagulase-negative and coagulase-positive staphylococci. J Dairy Sci 2017;100:6454-64. doi: 10.3168/jds.2017-12629
15. Lu L, Hu W, Tian Z, Yuan D, Yi G, Zhou Y, et al. Developing natural products as potential anti-biofilm agents. Chin Med 2019;14:11-. doi: 10.1186/s13020-019-0232-2
16. Jackson D, Abu-Niaaj LF. Antibacterial Screening Of Ethanolic Pomegranate Peel Extract. The FASEB Journal 2020;34:1-. doi: 10.1096/fasebj.2020.34.s1.09592
17. Dakheli MJ. Effects of grape and pomegranate waste extracts on poultry carcasses microbial, chemical, and sensory attributes in slaughterhouse. Food Science & Nutrition 2020;8:5622-30. doi: 10.1002/fsn3.1840
18. Tadi Beni M, Ansari F, Heydari A, Khalili Sadrabad E. Determination of antioxidant activity and phenolic content of ethanolic extract of pomegranate peel, seed and juice. Babol-Jbums 2018;20.
19. Nozohour Y, Golmohammadi R, Mirnejad R, Fartashvand M. Antibacterial Activity of Pomegranate (*Punica granatum L.*) Seed and Peel Alcoholic Extracts on *Staphylococcus aureus* and *Pseudomonas aeruginosa* Isolated From Health Centers. Journal of Applied Biotechnology Reports 2018;5:32-6. doi: 10.29252/jabr.01.01.06.
20. Bokaeian M, Tahmasebi H. Molecular identification of genes responsible for resistance to aminoglycosides and methicillin in clinical samples of *staphylococcus aureus*. J Babol Univ Med Sci 2017;19:38-46. doi: 10.22088/jbums.19.3.38

و یا غیرمستقیم می‌تواند بیماری زایی استافیلوکوکوس اورئوس را تحت اثر خود قرار دهد.

در مطالعه حاضر به دلیل محدودیت‌های حاکم در ارایه حجم نمونه بیشتر، عدم تمرکز بر روی فعالیت ژن‌های بیوفیلمی و عدم نمونه‌گیری در فضول مختلف، این نتایج ممکن است با نتایج سایر مطالعات متفاوت باشد (۳۴، ۳۵ و ۳۶). این امر نیاز به مطالعات بیشتر در این زمینه را مطرح می‌کند.

نتایج ما از مطالعه حاضر مشخص کرد که عوامل مختلفی در افزایش فراوانی لوکوس‌های ica و SCCmec در ایزوله‌های بالینی استافیلوکوکوس اورئوس نقش دارند. با توجه به اختلاف معنی‌دار بین پراکنش لوکوس‌های لوکوس ica و SCCmec و الگوی مقاومت به آنتیبیوتیک در سویه‌های MDR و XDR، برای مهار رشد این سویه‌ها باید غلطت‌های متفاوتی از دارو را مورد استفاده قرار داد. از طرفی، پراکنش لوکوس‌های ica و SCCmec در ایزوله‌های بالینی استافیلوکوکوس اورئوس تشکیل‌دهنده بیوفیلم نشان داد که، تشکیل بیوفیلم نقش بسیار مهمی در پراکنش این لوکوس‌ها دارد. پس، تشکیل بیوفیلم یک عامل کلیدی در گسترش سویه‌های بالینی استافیلوکوکوس اورئوس مقاوم به درمان می‌باشد.

تشکر و قدردانی

بدین‌وسیله از کارشناس محترم آزمایشگاه دانشگاه آزاد اسلامی، خانم لیلا مرادی حق گو به دلیل همکاری ایشان، تقدیر و تشکر می‌شود. همچنین، این مطالعه با کد مصوب به شماره ۱۷۱۳۰۵۰۷۹۵۱۰۲۱ و با حمایت‌های معاونت محترم پژوهش دانشگاه آزاد اسلامی واحد همدان به سرانجام رسید. لذا، نویسنده‌گان این مقاله قدردانی و سپاس خود را از این معاونت به دلیل حمایت‌های مادی و معنوی، اعلام می‌دارند.

References

1. Tahmasebi H, Maleki F, Dehbashi S, Arabestani MR. Role and function of KPC and MBL enzymes in increasing the pathogenicity of *pseudomonas aeruginosa* isolated from burn wounds. J Babol Univ Med Sci 2019;21:127-34.
2. Didar Z, Mohamadisani A. Comparison of the Effects of Hydrosol Extracted from Turmeric (*Curcuma longa*) and Cinnamon (*Cinnamomum verum*) on staphylococcal biofilm. Babol-Jbums 2019;21:293-8. doi:10.22088/jbums.21.1.293
3. Yadav SK, Bhujel R, Hamal P, Mishra SK, Sharma S, Sherchand JB. Burden of Multidrug-Resistant *Acinetobacter baumannii* Infection in Hospitalized Patients in a Tertiary Care Hospital of Nepal. Infect Drug Resist 2020;13:725-32. doi: 10.2147/idr.s239514
4. Miragaia M. Factors Contributing to the Evolution of meca-A-Mediated β-lactam Resistance in Staphylococci: Update and New Insights From Whole Genome Sequencing (WGS). Front Microbiol 2018;9:2723-. doi: 10.3389/fmicb.2018.02723
5. Tahmasebi H, Dehbashi S, Arabestani MR. Association between the accessory gene regulator (agr) locus and the presence of superantigen genes in clinical isolates of methicillin-resistant *Staphylococcus aureus*. BMC Res Notes 2019;12. doi: 10.1186/s13104-019-4166-7

21. Tahmasebi H, Dehbashi S, Jahantigh M, Arabestani MR. Relationship between biofilm gene expression with antimicrobial resistance pattern and clinical specimen type based on sequence types (STs) of methicillin-resistant *S. aureus*. *Mol Biol Rep* 2020;47:1309-20. doi: 10.1007/s11033-019-05233-4
22. Garoy EY, Gebreab YB, Achila OO, Tekeste DG, Kesete R, Ghirmay R, et al. Methicillin-Resistant *Staphylococcus aureus* (MRSA): Prevalence and Antimicrobial Sensitivity Pattern among Patients2014;A Multicenter Study in Asmara, Eritrea. *Can J Infect Dis Med Microbiol* 2019;2019:9. doi: 10.1155/2019/8321834
23. Zahedani SS, Tahmasebi H, Jahantigh M. Coexistence of virulence factors and efflux pump genes in clinical isolates of *pseudomonas aeruginosa*: analysis of biofilm-forming strains from Iran. *Int J Microbiol* 2021;2021:5557361. doi: 10.1155/2021/5557361
24. Elhassan MM, Ozbak HA, Hemeg HA, Elmekki MA, Ahmed LM. Absence of the meca gene in methicillin resistant *staphylococcus aureus* isolated from different clinical specimens in Shendi city, Sudan. *BioMed Research International* 2015;2015:895860-. doi: 10.1155/2015/895860
25. Ibadin EE, Enabulele IO, Muinah F. Prevalence of meca gene among staphylococci from clinical samples of a tertiary hospital in Benin City, Nigeria. *Afr Health Sci* 2017;17:1000-10. doi: 10.4314/ahs.v17i4.7
26. Alli O, Ogbolu D, Shittu A, Okorie A, Akinola J, Daniel J. Association of virulence genes with meca gene in *Staphylococcus aureus* isolates from Tertiary Hospitals in Nigeria. *Indian Journal of Pathology and Microbiology* 2015;58:464-71. doi: 10.4103/0377-4929.168875
27. Ghasemian A, Najar-Peerayeh S, Bakhshi B, Mirzaee M. High Prevalence of icaABCD Genes Responsible for Biofilm Formation in Clinical Isolates of *Staphylococcus aureus* From Hospitalized Children. *Arch Pediatr Infect Dis* 2015;3:e20703. doi: 10.5812/pedinfect.20703v2
28. Aboelnour A SZM, Sherif MH El-Kannishy and Nermein Abo El Kheir. Molecular study of intracellular adhesion genes (ica) and fibronectin binding protein genes (FnB) in clinical isolates of *staphylococcus aureus* isolated from patients under chemotherapy. *Int J Drug Dev Res* 2018;10:8-12.
29. Hashemizadeh Z, Hadi N, Mohebi S, Kalantar-Neyestanaki D, Bazargani A. Characterization of SCCmec, spa types and multi drug resistant of methicillin-resistant *staphylococcus aureus* isolates among inpatients and outpatients in a referral hospital in Shiraz, Iran. *BMC Res Notes* 2019;12:614. doi: 10.1186/s13104-019-4627-z
30. Nagasundaram N, Sistla S. Existence of multiple SCCmec elements in clinical isolates of methicillin-resistant *Staphylococcus aureus*. *J Med Microbiol* 2019;68:720-7. doi: 10.1099/jmm.0.000977
31. Bakkiyaraj D, Nandhini JR, Malathy B, Pandian SK. The anti-biofilm potential of pomegranate (*Punica granatum L.*) extract against human bacterial and fungal pathogens. *Biofouling* 2013;29:929-37. doi: 10.1080/08927014.2013.820825
32. Howell AB, D'Souza DH. The pomegranate: effects on bacteria and viruses that influence human health. *Evidence-Based Complementary and Alternative Medicine* 2013;2013:606212. doi: 10.1155/2013/606212
33. Tahmasebi H, Zeyni B, Dehbashi S, Motamedi H, Vafaeefar M, Keramat F, et al. The study of blaZ and meca gene expression in methicillin-resistant *staphylococcus aureus* strains and the relationship between the gene expression patterns. *J Isfahan Med Sch* 2017;35:1062-7.
34. Turki A. Assessing the Antibacterial activity of pomegranate against *staphylococcus aureus* obtained from wound infections. *Research Journal of Pharmaceutical, Biological and Chemical Sciences* 2018;9.
35. Ferrazzano GF, Scioscia E, Sateriale D, Pastore G, Colicchio R, Pagliuca C, et al. In vitro antibacterial activity of pomegranate juice and peel extracts on cariogenic bacteria. *BioMed Research International* 2017;2017:2152749. doi: 10.1155/2017/2152749



Correlation between Ica Locus and Different SCCmec Types in Clinical Isolates of Methicillin-Resistant Staphylococcus Aureus: An Analytical-Descriptive Study

Maryam Mohammadian (M.Sc.)¹, Amirhossein Momen (Ph.D.)^{1*}, Aida AliZamir (Ph.D.)²

1- Dept. of Microbiology, Faculty of Basic Sciences, Hamadan Branch, Islamic Azad University, Hamadan, Iran.

2- Dept. of Pathology, School of Medicine, Hamadan University of Medical Sciences, Hamadan, Iran.

Received: 17 April 2022, Accepted: 4 December 2022

Abstract:

Introduction: In clinical isolates of *Staphylococcus aureus*, the *ica* locus plays an important role in biofilm formation. However, its function in *S. aureus* clinical isolates carrying SCCmec locus and drug resistance is not clearly defined. This study aims to measure the correlation between the *ica* locus and different types of SCCmec in clinical isolates of methicillin-resistant *S. aureus* (MRSA).

Methods: In this descriptive-analytical study, 89 isolates of *S. aureus* were isolated from different clinical samples using biochemical tests. Antibiotic resistance patterns and MRSA strains were identified by the disc diffusion method. SCCmec and *ica* locus was investigated using the PCR method.

Results: Out of 89 clinical isolates of *S. aureus*, 41 MRSA strains were identified. The frequency of SCCmecI, SCCmecII, SCCmecIII, SCCmecIV, and SCCmecV genes was 21.9%, 26.8%, 31.7%, 17.1%, and 41.4%, respectively. In addition, *icaA*, *icaB*, *icaC*, and *icaD* were isolated from 29 isolates (32.58%), 11 isolates (12.35%), 17 isolates (19.10%), and 22 isolates (24.71%), respectively. The frequency of SCCmec types in the strains carrying the *ica* locus was significantly higher than in the strains without the *ica* locus ($P \geq 0.05$).

Conclusion: The circulation of *ica* locus genes plays a vital role in increasing the frequency of methicillin-resistant *S. aureus* strains and the distribution of SCCmec types in those strains.

Keywords: Methicillin-resistant *Staphylococcus aureus*, Biofilm, Polymerase chain reaction.

Conflict of Interest: No

*Corresponding author: A. Momen, Email: Amomen89@gmail.com

Citation: Mohammadian M, Momen A, AliZamir A. Correlation between *ica* locus and different SCCmec types in clinical isolates of methicillin-resistant *staphylococcus aureus*: An analytical-descriptive study. Journal of Knowledge & Health in Basic Medical Sciences 2023;17(4):50-58.